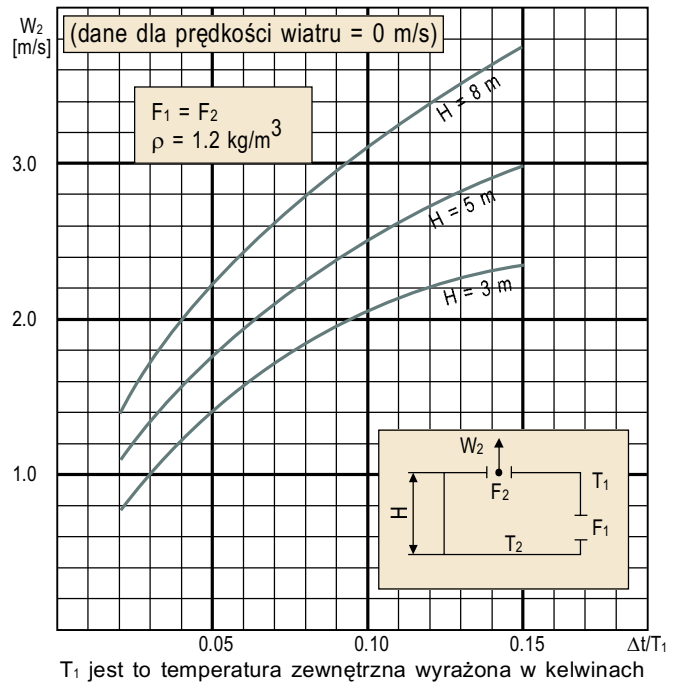
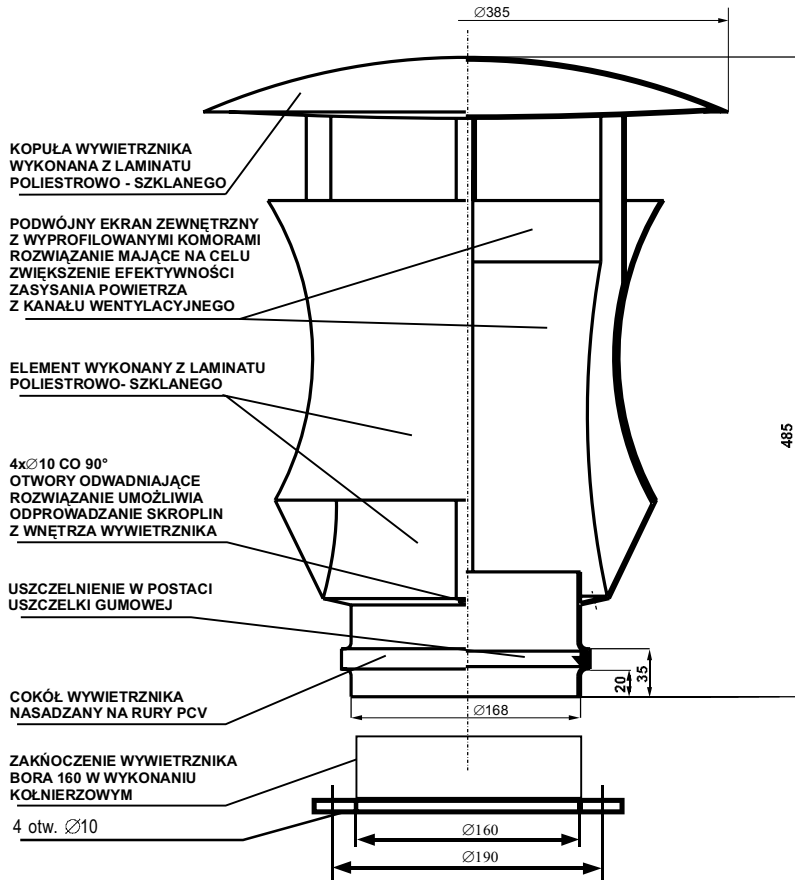


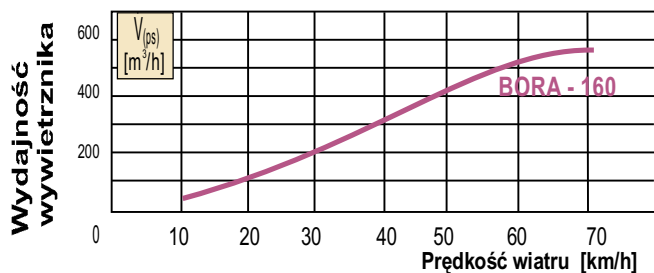
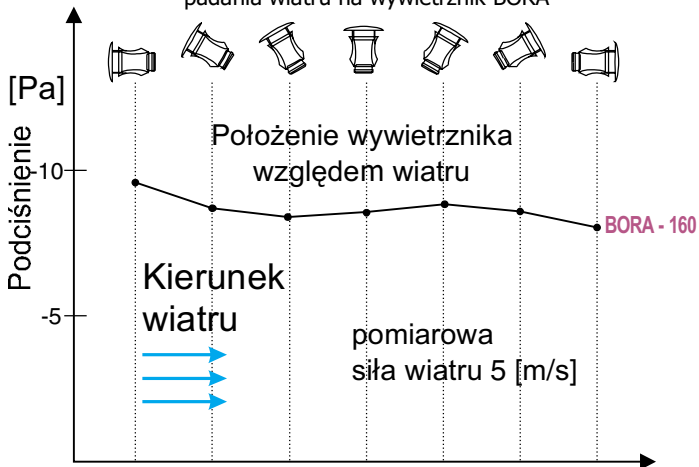
Wpływ różnicy temperatur na prędkość powietrza grawitacyjnego wewnątrz kanałów wentylacyjnych wentylacji naturalnej.



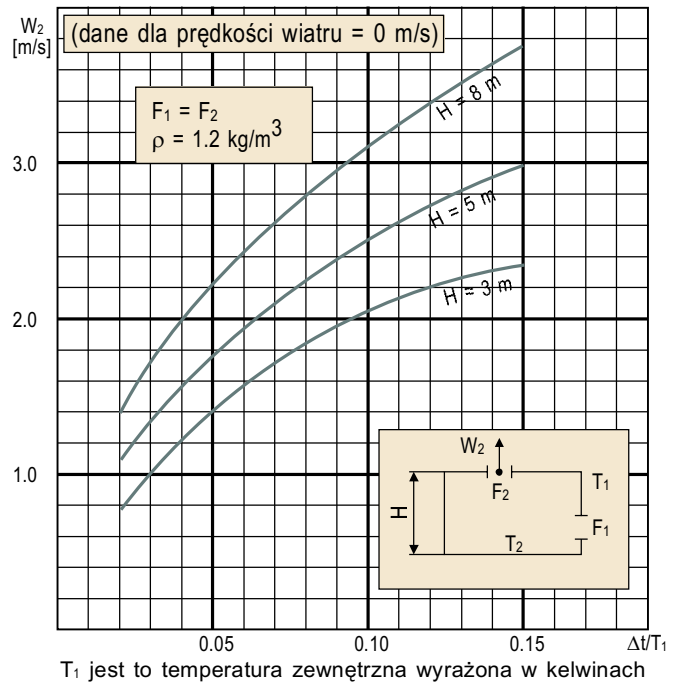
Wywiewnik BORA-160



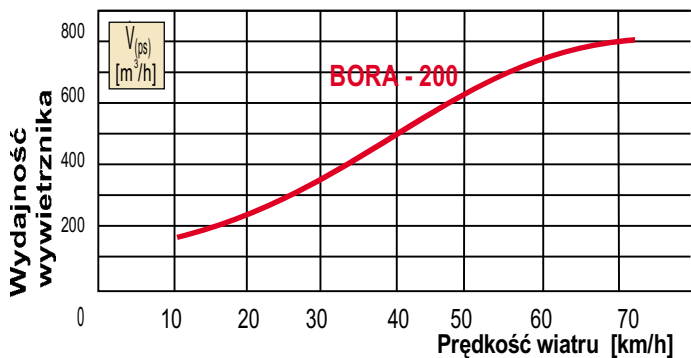
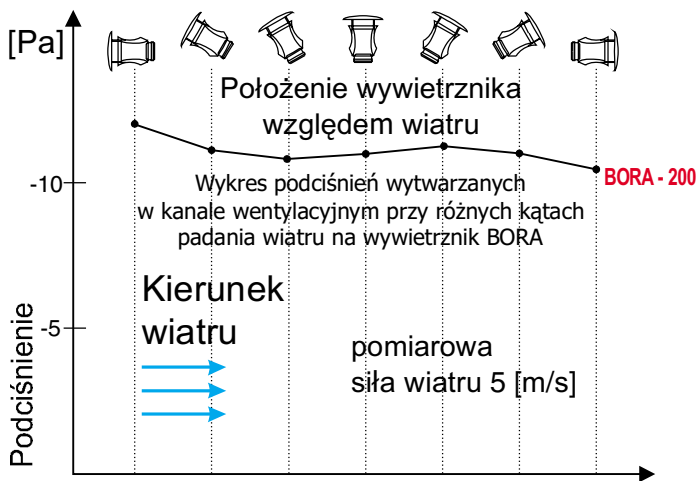
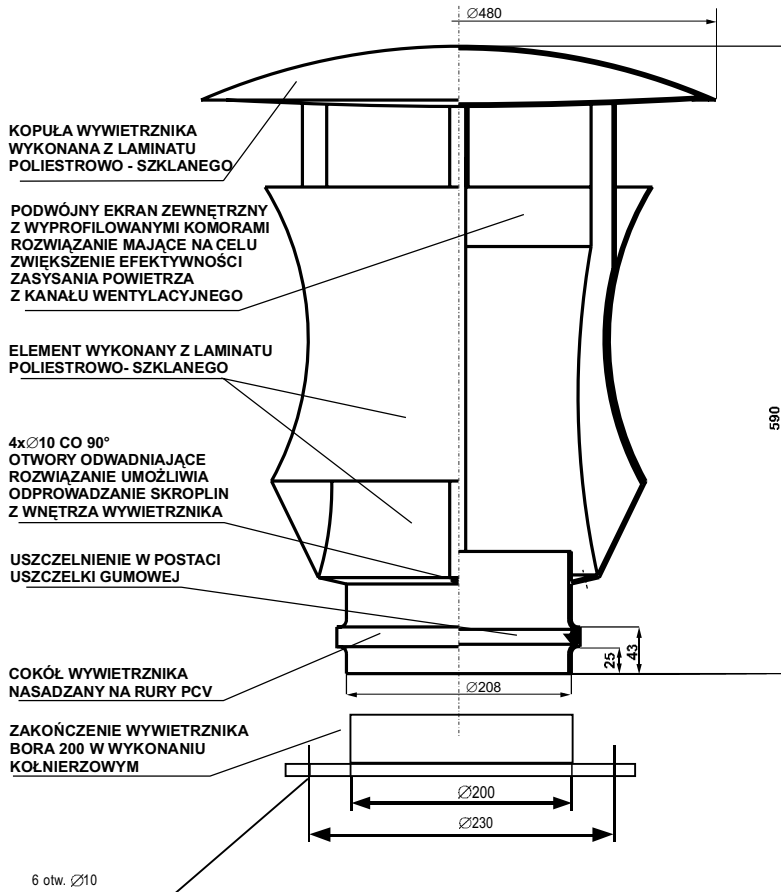
Wykres podciśnień wytwarzanych w kanale wentylacyjnym przy różnych kątach padania wiatru na wywiewnik BORA



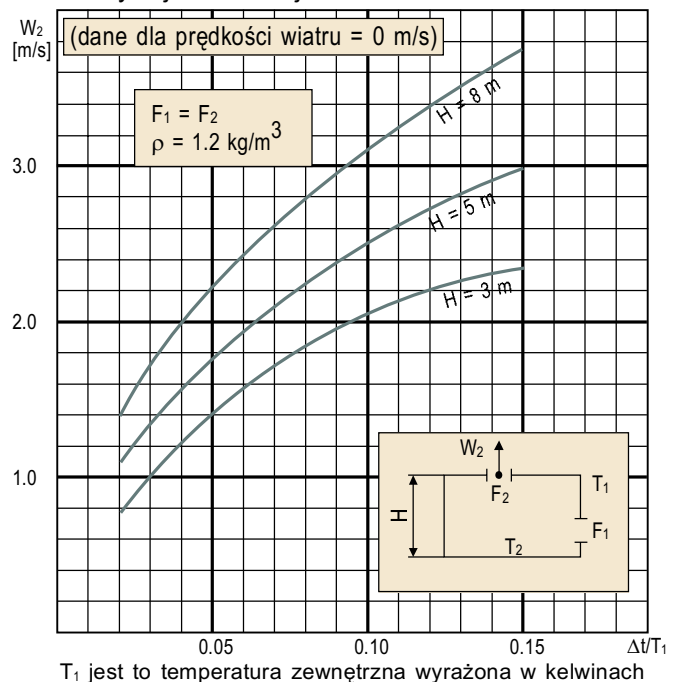
Wpływ różnicy temperatur na prędkość powietrza grawitacyjnego wewnątrz kanałów wentylacyjnych wentylacji naturalnej.



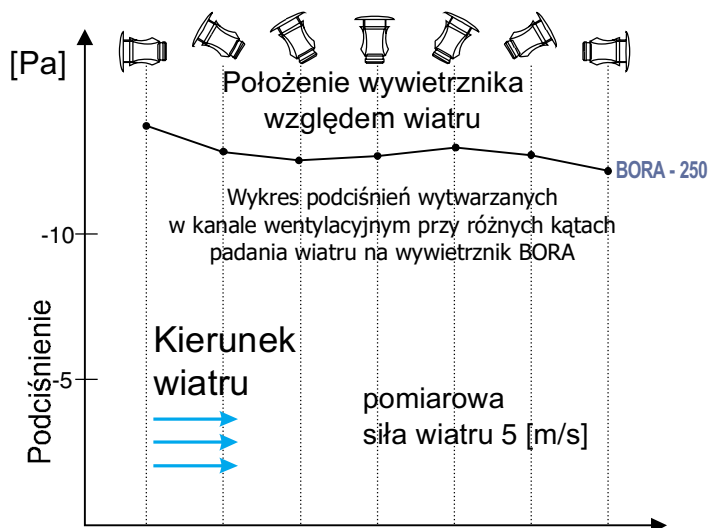
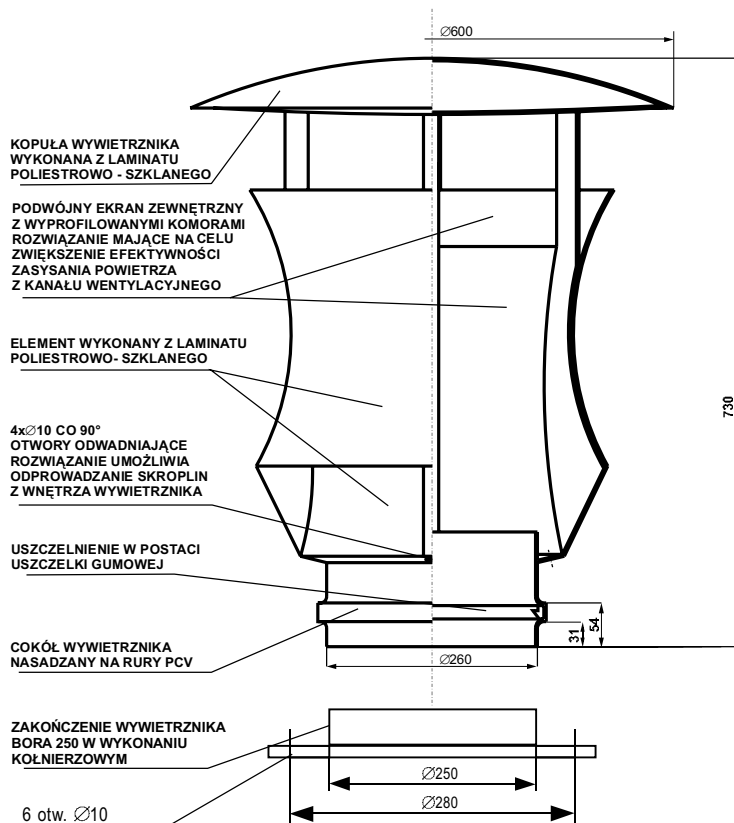
Wywiewnik BORA-200



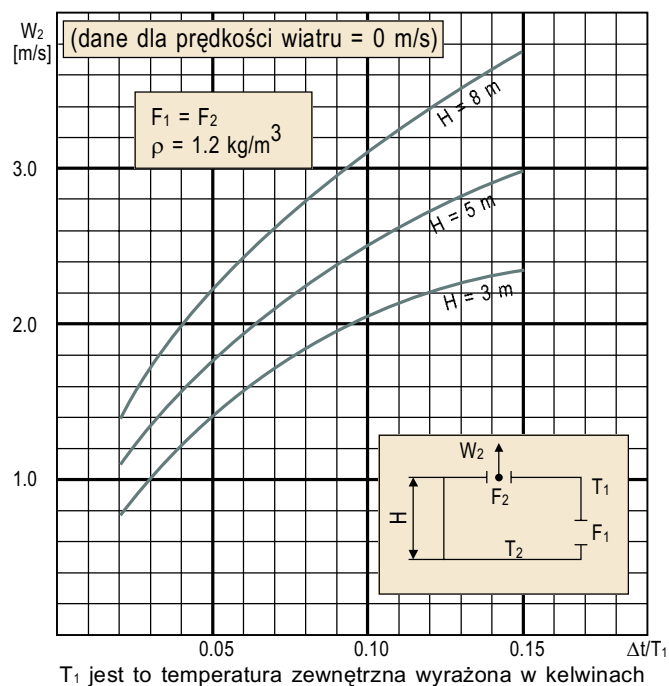
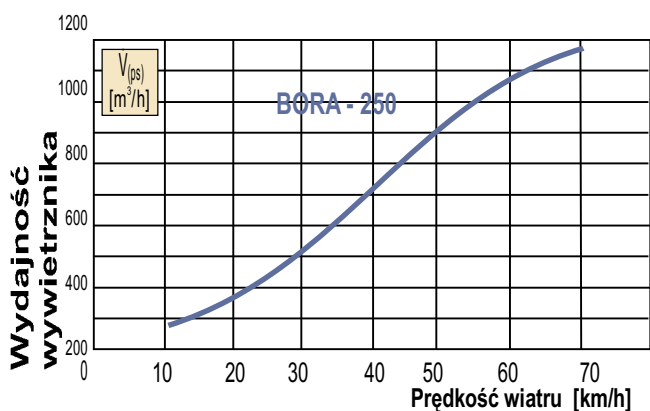
Wpływ różnicy temperatur na prędkość powietrza grawitacyjnego wewnątrz kanałów wentylacyjnych wentylacji naturalnej.



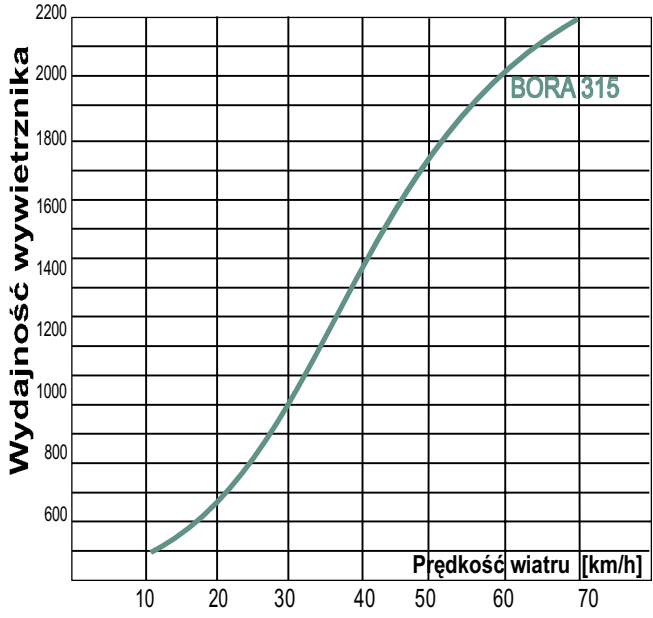
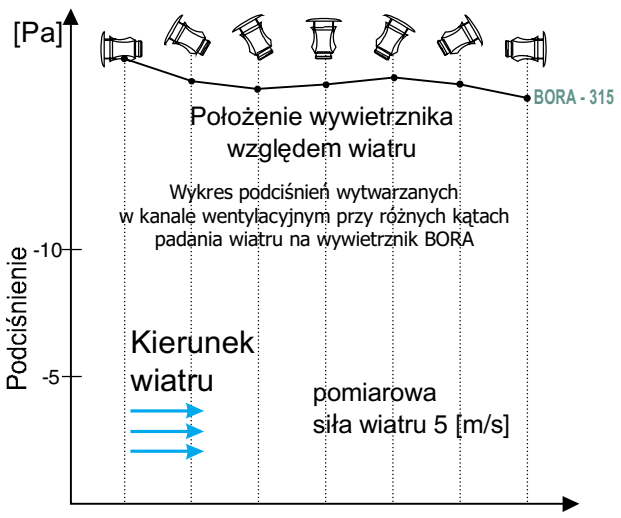
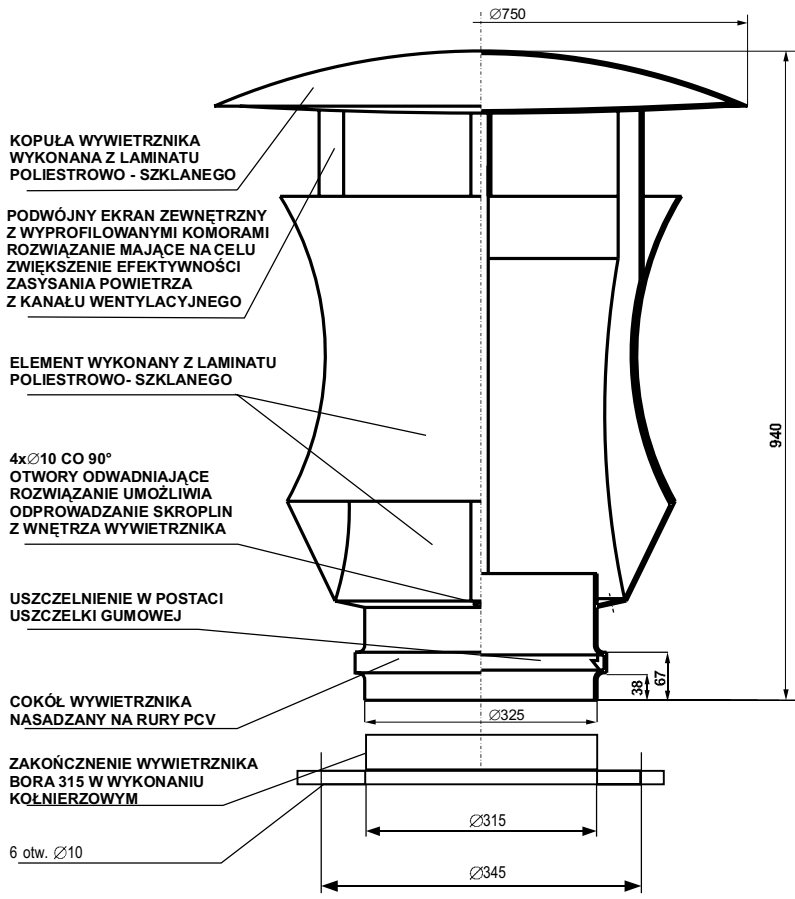
Wywiewnik BORA-250



Wpływ różnicy temperatur na prędkość powietrza grawitacyjnego wewnątrz kanałów wentylacyjnych wentylacji naturalnej.



Wywiewnik BORA-315



Wpływ różnicy temperatur na prędkość powietrza grawitacyjnego wewnątrz kanałów wentylacyjnych wentylacji naturalnej.

